

НЕТРАДИЦИОННАЯ ЭНЕРГЕТИКА

УДК 532.211

Накорчевский А.И.

Институт технической теплофизики НАН Украины

РАСЧЕТ ТЕПЛОВОСПРИНИМАЮЩЕЙ СПОСОБНОСТИ СОЛНЕЧНЫХ КОЛЛЕКТОРОВ

Запропоновано методику розрахунку тепловосприймаючої властивості сонячних колекторів у залежності від сонячної активності, тривалості активного світового дня та ККД сонячних колекторів.

A – альбедо поверхні; e – плотність сонечної радіації; q – плотність теплового потока; P – коєфіцієнт положення сонечного колектора; R_0 – наружний радіус ґрунтового теплообменника; T – температура; β – кут наклона поверхні до горизонту; η – КПД; λ – теплопровідність ґрунта; τ – временної інтервалу.

Індекси:

a – аккумулювання; v – вода; vz – повітря; d – день; k – кінець; $мес$ – місяць; $н$ – початок; o – отражательна; $оп$ – оптический; $ос$ – основной; $с$ – сонце; $с.к$ – сонечный коллектор; $ср$ – середній; d – розсіянна;

Представлена методика розрахунку тепловосприймаючої способності сонячних колекторів в залежності від сонячної активності, тривалості активного світового дня та КПД сонячних колекторів.

s – пряма; β – кут; \leftrightarrow – горизонталь; \uparrow – вертикаль.

Presented methods of the calculation heat property abilities solar collectors depending on solar activity, duration of the active light day and the effect coefficient of solar collectors.

В зв'язку з енергетичним кризисом зростає роль нетрадиційних джерел енергії. К одному з таких джерел відноситься повсемісно доступна сонечна радіація. Використання теплоти сонечного випромінення можливе путем непосредственного вилучення з верхніх шарів ґрунту або посередством спеціальних пристрій – сонячних колекторів, які мають плоску форму. Очевидно, що енергетичний потенціал в останньому випадку буде більшим. Єдина обов'язкова методика розрахунку сонечної радіації, діюча на сонячні колектори, відсутня. Незважаючи на принципальну можливість строгого теоретичного визначення цієї величини, використовуючи астрономічні відомості про Сонце, з інженерної точки зору все ж слід опиратися на стабільні емпіричні дані. До такових відносяться авторитетні відомості про просторове розподілення сонечної радіації, наприклад, вказані в енциклопедіях України [1, 2]. Причому кола наукової літератури може бути ширше в зв'язку з погодою та згодою з концепціями цих праць та використаними в них дан-

ными. Ниже предлагается расчетная методика, построенная на строгом соблюдении этого принципа.

Начнем с расчета падающей радиации на наклонную поверхность. Общепринято, что горизонтальная поверхность воспринимает прямую радиацию с интенсивностью $e_{s\leftrightarrow}$ и рассеянную радиацию с интенсивностью $e_{d\leftrightarrow}$:

$$e_{\leftrightarrow} = e_{s\leftrightarrow} + e_{d\leftrightarrow} \quad (1)$$

Величина e_{\leftrightarrow} именуется суммарной радиацией. Если приемник расположен наклонно, то это отражается на значениях e_s для прямой радиации и рассеянной e_d :

$$e_{s\beta} = e_{s\uparrow} \sin \beta + e_{s\leftrightarrow} \cos \beta, \quad e_{d\beta} = e_{d\leftrightarrow} \frac{1 + \cos \beta}{2}, \quad (2)$$

где β – угол наклона поверхности относительно горизонтальной плоскости, $e_{s\uparrow}$ – интенсивность прямой радиации на вертикальную площадку. Кроме того, на наклонную поверхность оказывает дополнительное влияние и отражательная способность земной поверхности, определяемая как

$$e_{o\beta} = A e_{\leftrightarrow} \frac{1 - \cos \beta}{2}, \quad (3)$$

где альбето поверхности A зависит от характеристики поверхности [1]. Таким образом, результирующее действие солнечной радиации на наклонную поверхность будет

$$e_{c\beta} = e_{s\beta} + e_{d\beta} + e_{o\beta} = e_{s\uparrow} \sin \beta + e_{s\leftrightarrow} \cos \beta + e_{d\leftrightarrow} \frac{1 + \cos \beta}{2} + A(e_{s\leftrightarrow} + e_{d\leftrightarrow}) \frac{1 - \cos \beta}{2}. \quad (4)$$

Здесь первые два слагаемых составляют прямую радиацию, третье – рассеянную, четвертое – отражательную, а их сумма – падающую радиацию. Итак, для вычисления $e_{c\beta}$ необходимо располагать сведениями о прямой радиации на горизонтальную и вертикальную поверхности, о рассеянной радиации на горизонтальную поверхность и об альбето A . Последнее обычно колеблется в пределах 0,1...0,4 и, как правило, действием отражательной способности пренебрегают.

Значения $e_{s\uparrow}$, $e_{s\leftrightarrow}$, $e_{d\leftrightarrow}$ изменяются в течение суток, и зависят от множества плохо пред-

сказуемых погодных факторов, а $e_{s\uparrow}$ – еще и от ориентации вертикальной поверхности. Поэтому при расчетах длительного периода работы солнечных коллекторов следует опираться на среднемесячные данные, которые приводятся в руководствах [1, 2]. Что касается данных о $e_{s\uparrow}$, то, в отличие от [1], достаточно подробная информация содержится в монографии [3]. Причем, что важно, численные значения одноименных величин в [1, 3] практически совпадают.

Альтернативой зависимости (4) мог быть расчетный алгоритм, представленный в нормах проектирования [4], который базируется на данных работы [1]. Согласно [4] интенсивность падающей солнечной радиации для любого положения солнечного коллектора находится по формуле

$$e_{s\beta} = P_s e_{s\leftrightarrow} + P_d e_{d\leftrightarrow}, \quad (5)$$

где P_s , P_d – коэффициенты положения солнечного коллектора для прямой и рассеянной радиации соответственно. При расчете рассеянной радиации используется выражение для P_d , совпадающее со второй формулой (2):

$$P_d = \frac{1 + \cos \beta}{2} = \cos^2 \left(\frac{\beta}{2} \right), \quad (6)$$

а коэффициент для прямой радиации P_s выбирается согласно таблицы в Приложении 3 норм [4] в зависимости от месяца года, широты местности и угла наклона коллектора к горизонту. Однако подсчитанные таким образом значения $e_{s\uparrow}$ для вертикальных поверхностей ($\beta = 90^\circ$) не совпадают с данными, приведенными в [1, 3].

Для северного полушария оптимальной является южная ориентация солнечных коллекторов с возможными отклонениями на восток до 20° , на запад – до 30° . Согласно общепринятым рекомендациям угол наклона солнечных коллекторов к горизонту β выбирается равным широте местности при круглогодичной работе, в летний период – широте местности минус $10...15^\circ$, а в отопительный сезон – широте местности плюс $10...15^\circ$. Здесь уместно заметить, что уравнение (4) позволяет определить оптимальный угол наклона расчетным путем. Первая и вторая производные функции (4) по углу β будут:

НЕТРАДИЦИОННАЯ ЭНЕРГЕТИКА

$$\frac{de_{c\beta}}{d\beta} = e_{s\downarrow} \cos \beta - e_{s\leftrightarrow} \sin \beta - 0,5e_{d\leftrightarrow} \sin \beta,$$

$$\frac{d^2e_{c\beta}}{d\beta^2} = -e_{s\downarrow} \sin \beta - (e_{s\leftrightarrow} + 0,5e_{d\leftrightarrow}) \cos \beta.$$

(7)

Поскольку вторая производная при $\beta \in [0, \pi/2]$ всегда отрицательная, то решение первого уравнения, приравненного нулю, дает значение угла, при котором $e_{c\beta}$ будет наибольшим. Результаты расчета β для г. Киева ($50,5^\circ$ с. ш.) при южной ориентации оказались следующими (по месяцам года, начиная с января): $53,44^\circ; 50,21^\circ; 38,47^\circ; 24,91^\circ; 16,90^\circ; 14,06^\circ; 15,69^\circ; 23,12^\circ; 35,43^\circ; 49,47^\circ; 50,51^\circ; 57,18^\circ$. Среднее значение в холодный период (октябрь – март) оказалось равным $49,9^\circ$, а в теплый (апрель – сентябрь) – $21,6^\circ$. Среднегодовой угол – $35,8^\circ$. Если ориентироваться на общепринятые рекомендации, то углы должны быть: для холодного периода $60\dots65^\circ$, для теплого – $35\dots40^\circ$ при среднегодовом – 50° . Расчеты с учетом помесячного изменения указанных выше углов наклона коллекторов дали увеличение падающей радиации на 3% в течение апреля – сентября и на 2% за период октябрь – март по сравнению с данными при неизменном оптимальном среднегодовом угле 35° , что вполне объяснимо. В тоже время следует отметить существенное расхождение между значениями оптимального среднегодового угла и общепринятого по рекомендациям.

Что касается суточного изменения солнечной радиации, то здесь можно воспользоваться данными, приведенными в таблице 10 справочника [1]. Построенные суточные графики изменений суммарной радиации по месяцам года (см. рис.) свидетельствуют о допустимости принятия синусоидального характера изменения этой величины в течение солнечно активного дня, что разделяют и авторы работы [5].

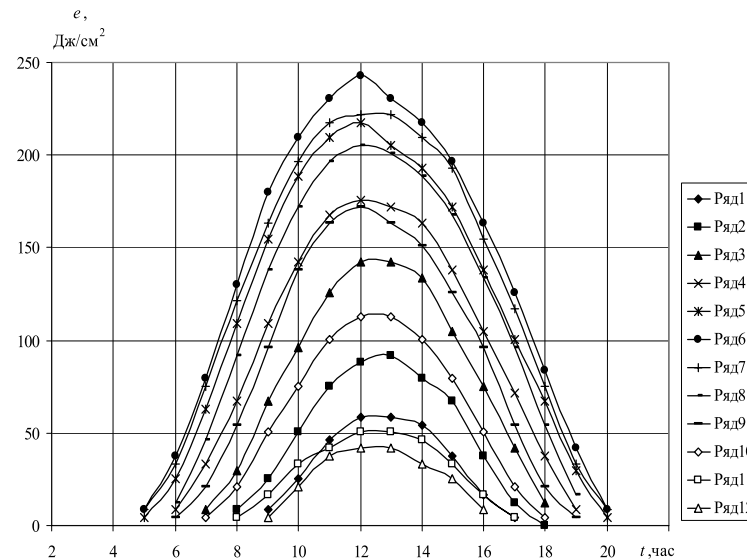


Рис. Почасовое распределение суммарной радиации для г. Киева. Номер ряда соответствует последовательности месяцев, начиная с января.

В таблице 1 представлены расчетные данные о среднесуточных и среднемесячных прямой, рассеянной и падающей радиации для г. Киева ($50,5^\circ$ с.ш.) при угле наклона поверхности $\beta = 35^\circ$ с южной ориентацией. Там же приведены данные о средней длительности активного светового дня [1] и о средней температуре наружного воздуха на этом временном интервале дня для метеостанции Киев, Обсерватория [2]. За шесть «теплых» месяцев (апрель – октябрь) суммарная плотность падающей радиации составит 916418 Вт·ч/м², а на остальные шесть «холодных» приходится 337969 Вт·ч/м², что составляет 36,9 % от первого значения. Таким образом, не следует пренебрегать солнечной энергией в холодный период года.

Согласно изложенному выше, наиболее достоверными характеристиками солнечной активности являются сведения о среднемесячных их показателях. Поэтому и расчет предсказуемой теплоты, воспринимаемой солнечными коллекторами, работающими в течение длительного периода, должен быть ориентирован на среднемесячные данные. Такой подход должен распространяться и на теплоту,

отдаваемую коллектором промежуточному теплоносителю. Среди ряда методик, определяющих КПД солнечных коллекторов $\eta_{c.k}$, представляется предпочтительной зависимость, рекомендуемая фирмой Viessmann [6]:

$$\eta_{c.k} = \eta_{op} - k_1 \frac{T_{c.k} - T_{b3}}{q_c} - k_2 \frac{(T_{c.k} - T_{b3})^2}{q_c}, \quad (8)$$

где $T_{c.k}$ – температура коллектора, T_{b3} – температура окружающей среды, η_{op} – оптический КПД коллектора, q_c – плотность теплового потока, воспринимаемого коллектором, k_1 , k_2 – эмпирические коэффициенты. Например, для коллекторов Vitoso 1 типа s/w 2,5 значения $\eta_{op} = 0,826$, $k_1 = 3,68 \text{ Вт}/(\text{м}^2 \cdot \text{К})$, $k_2 = 0,011 \text{ Вт}/(\text{м}^2 \cdot \text{К}^2)$. Среднемесячный КПД по (8) определяется среднемесячными значениями величин, входящих в это уравнение. Средние значения для T_{b3} известны, а для q_c легко подсчитываются по данным таблицы 1 с учетом длительности активного светового дня. Что касается температуры $T_{c.k}$, то она практически соответствует температуре промежуточного теплоносителя T_b . Значение последней можно оценить, исходя из следующих соображений.

Если осуществляется аккумулирование теплоты контактом промежуточного теплоносителя с грунтовым аккумулятором [7], то T_b практически не отличается от температуры на наружной стенке теплообменника T_0 . Разность между T_b и температурой основной области аккумулятора T_{oc} можно оценить посредством зависимости

$$T_b - T_{oc} = \frac{q_0 R_0}{\lambda_m}, \quad (9)$$

где обычно плотность теплового потока на стенке грунтового теплообменника $q_0 \approx 100 \text{ Вт}/\text{м}^2$ при его радиусе $R_0 \approx 0,1 \text{ м}$. Допустимо принять почти линейным характер изменения $T_{oc}(t)$ при аккумулировании длительностью τ_a . Тогда, зная начальную $T_{oc}(0) \approx T_m$ и конечную $T_{oc}(\tau_a)$ температуры, просто находятся среднемесячные значения температур:

$$T_{oc}(t_{cp.mes}) = T_{oc}(0) + \frac{T_{oc}(\tau_a) - T_{oc}(0)}{\tau_a} t_{cp.mes}, \quad (10)$$

$$T_b(t_{cp.mes}) = T_{oc}(t_{cp.mes}) + \frac{q_0 R_0}{\lambda_m}.$$

Здесь $t_{cp.mes}$ – отсчет времени середины месяца от начала аккумулирования. Подставляя $T_b(t_{cp.mes})$ в (8), находим среднемесячный КПД солнечных коллекторов. В случае существенного отклонения динамики изменения $T_b(t_{cp.mes})$ по (10) от значений в результате детального расчета этого процесса согласно [7] вносятся итерационные корректизы.

Если энергия, полученная от солнечного коллектора, полностью извлекается из промежуточного теплоносителя и его потенциал снижается до исходного уровня, то температура T_b должна соответствовать T_{b3} . Такой режим характерен при работе без грунтового аккумулятора в циркуляционной системе промежуточного теплоносителя, например, в круглогодичных системах горячего водоснабжения с тепловым насосом. В таком случае КПД оказывается наибольшим и определяется значением η_{op} .

Вычислив среднемесячный КПД солнечных коллекторов $\eta_{c.k}$, устанавливается среднемесячное $e_{c.k.mes}$ количество солнечной энергии, воспринятой промежуточным теплоносителем. Для анализа предполагаемой посutoчной динамики работы солнечных коллекторов в системе с промежуточным теплоносителем предлагается такой алгоритм. Расчитывается среднедневная полезная производительность солнечных коллекторов $e_{c.k.d.}$:

$$e_{c.k.d.} = \frac{e_{c.k.mes}}{\tau_{mes}} \eta_{c.k}, \quad (11)$$

где τ_{mes} – число дней в месяце. Зная длительность активного светового дня τ_c , устанавливается средняя плотность теплового потока, приходящегося на единицу поверхности коллекторов $\langle q_{c.k} \rangle$:

$$\langle q_{c.k} \rangle = \frac{e_{c.k.d.}}{\tau_c}. \quad (12)$$

Затем по синусоидальному закону вычисляется предполагаемое максимальное его значение $q_{c.k.max}$ и записывается характер изменения $q_{c.k}(t)$ в интервале $[t_h, t_k]$:

НЕТРАДИЦИОННАЯ ЭНЕРГЕТИКА

$$q_{c.k.\max} = \frac{\pi \langle q_{c.k} \rangle}{2}, \quad q_{c.k} = q_{c.k.\max} \sin \left(\pi \frac{t - t_h}{\tau_c} \right), \quad (13)$$

где t_h – начало светового дня и $t_k = t_h + \tau_c$ – его конец. В качестве примера в таблице 2, являющейся расширением таблицы 1, приведены необходимые исходные данные для расчета параметров промежуточного теплоносителя солнечных коллекторов.

Табл. 1. Расчетные данные солнечной активности

Месяц	Число дней	Прямая радиация _z			Прямая радиация, Вт·час м ² ·мес.	Рассеянная радиация, Вт·час м ² ·мес.	Падающая радиация, Вт·час м ² ·мес.	Средняя температ. воздуха, °C	Длит. свет. дня, час
		$e_{sr}\cos\beta$	$e_{sb}\sin\beta$	$e_{s\beta}$					
I	31	184,34	420,25	604,59	18742	17983	36723	-5,6	8
II	28	442,04	700,42	1142,46	31989	24330	56319	-4,3	10
III	31	952,67	880,53	1833,20	56829	43371	100200	0,7	11
IV	30	1460,45	753,79	2214,24	66426	57123	123549	8,9	13
V	31	2181,62	687,08	2868,70	88930	71933	160863	16,3	15
VI	30	2698,92	673,74	3372,66	101180	76164	177344	19,7	15
VII	31	2519,82	707,09	3229,91	100034	74049	174083	21,7	15
VIII	31	2181,62	913,88	3095,50	95961	60297	156258	20,4	14
IX	30	1555,72	1107,34	2663,06	79892	44429	124321	15,9	13
X	31	767,86	993,93	1761,79	54616	30677	85293	9,0	11
XI	30	190,53	366,89	557,42	16723	15868	32591	1,9	9
XII	31	122,89	333,53	456,42	14149	12694	26843	-3,0	7

НЕТРАДИЦИОННАЯ ЭНЕРГЕТИКА

Табл. 2. Характеристики плотности солнечного теплового потока

Месяц	Падающая радиация за месяц $10^6 \text{ Дж}/\text{м}^2$	Падающая радиация за день $10^6 \text{ Дж}/\text{м}^2$	Длительность инсоляции, час	Дневной интервал инсоляции, час	Средняя плотность радиации, $\text{Вт}/\text{м}^2$	Максимальная плотность радиации, $\text{Вт}/\text{м}^2$
I	132,200	4,265	8	9-17	148,09	232,62
II	202,750	7,241	10	8-18	201,14	315,95
III	360,720	11,636	11	7-18	293,84	461,56
IV	444,776	14,826	13	6-19	316,79	497,62
V	579,107	18,681	15	5-20	345,94	543,41
VI	638,438	21,281	15	5-20	394,09	619,04
VII	626,699	20,216	15	5-20	374,37	588,06
VIII	562,529	18,146	14	6-19	360,04	565,55
IX	447,556	14,918	13	6-19	318,76	500,71
X	307,055	9,905	11	7-18	250,13	392,90
XI	117,328	3,911	9	8-17	120,71	189,61
XII	96,635	3,117	7	9-16	123,69	194,29

Выходы

Предложен метод определения интенсивности воздействия солнечной радиации на наклонную поверхность и алгоритмы расчета тепловосприятия ее солнечными коллекторами.

ЛИТЕРАТУРА

1. Справочник по климату СССР. Вып. 10. УССР. ч. I. Солнечная радиация, радиационный баланс и солнечное сияние. Л.: Гидрометеоиздат, 1966. – 124 с.
2. Справочник по климату СССР. Вып. 10. УССР. ч. II. Температура воздуха и почвы. Л.: Гидрометеоиздат, 1967. – 608 с.

3. Кондратьев К.Я., Пивоварова З.И., Федорова М.П. Радиационный режим наклонных поверхностей. Л.: Гидрометеоиздат, 1978. – 216 с.

4. Установки солнечного горячего водоснабжения: ВСН 52 – 86 / Госгражданстрой. – М.: Стройиздат, 1988. – 16 с.

5. Сиворакша В.Ю., Марков В.Л., Петров Б.Є. та інші. Теплові розрахунки геліосистем. Дніпропетровськ: Вид. Дніпр. ун-ту, 2003. – 124 с.

6. Системы тепловых насосов. Инструкция по проектированию. Viessmann. 2000. – 48 с.

7. Накорчевский А.И. Теоретические и прикладные аспекты грунтового аккумулирования и извлечения теплоты. Киев.: Наук. думка, 2008.–150с.

Получено 21.10.2008 г.